

## وارونسازی سه بعدی گرانی با استفاده از قیود حداقل فاصله، همواری و فشردگی

سعید وطن‌خواه<sup>۱\*</sup>، وحید ابراهیم‌زاده اردستانی<sup>۲</sup> و محمد اشتربی جعفری<sup>۳</sup>

<sup>۱</sup> دانشجوی کارشناسی ارشد ژئوفیزیک، گروه فیزیک زمین، مؤسسه ژئوفیزیک دانشگاه تهران، ایران

<sup>۲</sup> دانشیار، گروه فیزیک زمین، مؤسسه ژئوفیزیک دانشگاه تهران و قطب علمی مهندسی نقشه‌برداری و مطالبه با سوانح طبیعی، تهران، ایران

<sup>۳</sup> مریم، گروه فیزیک زمین، مؤسسه ژئوفیزیک دانشگاه تهران، ایران

(دریافت: ۱۱۹، ۸۸۶۲۵، پذیرش نهایی: ۱۱۹، ۸۹)

### چکیده

در این مقاله روشی برای وارونسازی سه بعدی (3D) داده‌های گرانی با استفاده از قیود کمترین فاصله، همواری و فشردگی عرضه شده است. این قیود با استفاده از فرمول بندی لاگرانژ ترکیب شده‌اند و وارونسازی با تقسیم ناحیه زیرین به مکعب‌هایی با ابعاد مساوی و حل مسئله خطی برای به دست آوردن چگالی هر مکعب صورت گرفته است. وزن‌های داده شده به هر مکعب وابسته به عمق، اطلاعات اولیه از چگالی و محدوده مجاز چگالی برای ناحیه مورد بررسی است. برای این کار برنامه‌ای به زبان مطلب (MATLAB) نوشته شده است، این برنامه با استفاده از یک مدل اولیه برای چگالی و با یک فرایند تکرار چگالی هر مکعب را می‌یابد. برنامه رایانه‌ای نوشته شده روی دو مدل مصنوعی متفاوت مورد آزمایش قرار گرفته است. مدل اول شامل دو دایک قائم با چگالی‌های متفاوت و مدل دوم ترکیبی از چند جسم با عمق، چگالی و هندسه متفاوت است. کاربرد الگوریتم روی مدل‌های مصنوعی نتایج قابل قبول و همگرایی خوبی را نشان می‌دهد. تباين چگالی‌های به دست آمده انتظام مناسبی با مدل اولیه دارد و همچنین مرزهای افقی بی‌هنگاری‌ها دقیقاً بازسازی شده‌اند. درنهایت روش عرضه شده برای تهیه مدل ژئوفیزیکی حاصل از داده‌های گرانی سنجی مربوط به ناحیه گل مندره واقع در استان خراسان شمالی مورد استفاده قرار گرفته است. نتایج حاصل از مدل سازی داده‌ها کارست شدگی شدیدی را در این منطقه نشان می‌دهد که با توجه به این مطلب پایدارسازی این بستر کارستی اقتصادی و امکان‌پذیر نیست.

واژه‌های کلیدی: گرانی سنجی، وارونسازی سه بعدی، فرمول بندی لاگرانژ، وزن دهی عمقی

## 3D gravity inversion using a selection of constraints including minimum distance, smoothness and compactness

Vatankhah, S.<sup>1</sup>, Ardestani, E. V.<sup>2</sup> and Ashtari Jafari, M.<sup>3</sup>

<sup>1</sup> M.Sc. Student of Geophysics, Earth Physics Department, Institute of Geophysics, University of Tehran, Iran

<sup>2</sup> Associate Professor, Earth Physics Department, Institute of Geophysics, University of Tehran and Center of Excellence in Survey Engineering and Disaster Management, Tehran, Iran

<sup>3</sup> Instructor, Earth Physics Department, Institute of Geophysics, University of Tehran, Iran

(Received: 16 Sep 2009, Accepted: 8 Feb 2011)

### Abstract

In gravity interpretation, inversion algorithms have been used widely over the years, but as the potential follows the Gauss theorem, there are many equivalent source distributions that can produce the same known field. So to obtain a unique solution, suitable constraints should be introduced to the algorithm. During the last decades many authors have used several approaches to introduce a priori information into the inversion. Green (1975) found the model closest to the initially fixed model, Last and Kubik (1983) minimized the volume of the causative body, Guillen and Menichetti (1984) concentrated the solution about a geometric element, such as an axis. Li and Oldenburg (1996, 1998) used a

constraint called ‘smoothness’ to find a model with minimum spatial variation of the physical property. Also they counteracted the decreasing sensitivity of the cells with depth by weighting it with an inverse function of depth.

In this paper we have presented a method to interpret gravity data using a selection of constraints including minimum distance, smoothness and compactness that can be combined using a Lagrangian formulation. In this approach the earth is divided into a large number of rectangular prismatic blocks of fixed size where each block side is equal to the distance between two observation points and the problem has been solved by calculating the model parameters linearly (i.e. the densities of each block). Since the number of parameters can be many thousands, the linear system of equations is inverted using a conjugate gradient approach. The given weights to each block depend on depth, a priori information on density and the density ranges allowed for the region under investigation.

A MATLAB-based inversion code for the presented method was prepared. The program uses a primary density model in the input file and calculates densities of blocks at each iteration. The program was tested on two different synthetic models. The first model includes two vertical dikes with different densities and the second model has encircled multiple bodies with different geometries and densities. The results on the synthetic models seem to be acceptable with a suitable convergence. The calculated density contrasts are according to the model contrasts and the horizontal boundaries are fairly reconstructed by the algorithm. Finally the inversion procedure has been applied on the real gravity data from the Golmandareh dam site (the north-eastern Khorasan, Iran). The computations show severe karsting of the area that makes the regional stabilization uneconomical and impossible.

**Key words:** Gravity, 3D Inversion, Lagrangian formulation, Depth Weighting

## ۱ مقدمه

زمین‌شناسی و چگالی موجود باشند، استفاده کرد. دیگر نویسنده‌گان مانند لی و اولدنبرگ (۱۹۹۶ و ۱۹۹۸) کاوش حساسیت سلول‌ها با عمق را با یک تابع وارون از عمق، خنثی کردند. لاست و کوبیک (۱۹۸۳) جوابی فشرده با استفاده از قید کمینه کردن (Compactness) حجم چشمی بی‌هنگاری به‌دست آوردند. همچنین قیدی کلی که هموارسازی (Smoothing) نامیده می‌شود را و اولدنبرگ (۱۹۹۶) بعضی دیگر از نویسنده‌گان مورد استفاده قرار دادند. در ادامه، ابتدا محاسبه تحلیلی از بی‌هنگاری گرانی ناشی از مدل مکعبی عرضه می‌شود. همچنین در مورد ابعاد مکعب‌ها و ابعاد مدل توضیح داده می‌شود. سپس مسئله وارون بر پایه روشهای بولانگر و چوتو (۲۰۰۱) مطرح کرده‌اند، بیان می‌شود. این روش ما

هدف از نظریه وارون، تعیین پارامترهای مدل از روی داده‌های مشاهده شده در سطح زمین است. افرادی که روی مسائل وارون گرانی‌سنگی کار می‌کنند به دنبال عملگری هستند که روی داده گرانی مشاهده شده عمل کند و درنهایت توزیع چگالی زیرسطحی را، که تولید‌کننده میدان مشاهده شده است، نشان دهد. اگرچه جوابی که در داده مشاهده‌ای صدق کند به آسانی یافت می‌شود اما یکتا نبودن جواب در روش‌های میدان پتانسیل، از مشکلات اساسی وارون‌سازی است. بنابراین هدف آن است تا با بسط معیارهایی، جواب‌هایی انتخاب شوند که از نظر زمین‌شناسی محتمل و منطقی باشند. گرین (۱۹۷۵) از یک ماتریس وزن‌دهی مناسب برای ثابت نگه داشتن تعدادی از پارامترهای مدل، هنگامی که اطلاعات

(بولانگر و چوتو، ۲۰۰۱):

$$g_i = -\gamma \rho \sum_{p=1}^2 \sum_{q=1}^2 \sum_{s=1}^2 \mu_{pqs} \begin{bmatrix} a_p \ln(b_q + r_{pqs}) + \\ b_q \ln(a_p + r_{pqs}) - \\ c_s \arctan(\frac{a_p b_q}{c_s r_{pqs}}) \end{bmatrix} \quad (1)$$

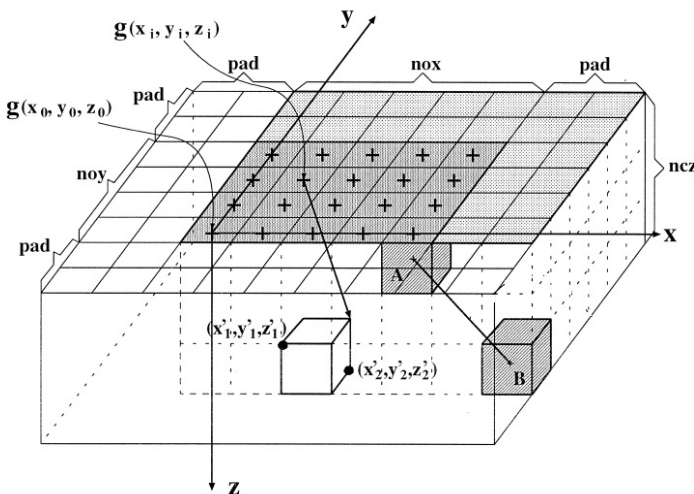
که:

- $\rho_j$  چگالی بلوک  $j\Lambda$  که ثابت فرض می‌شود.
- $\gamma$  ثابت جهانی گرانش است.
- $p, q, s = 1, 2$  با  $\mu_{pqs} = (-1)^p (-1)^q (-1)^s$
- $b_q = y_i - y_q, a_p = x_i - x_p$
- $c_s = z_i - z_s$
- $(x_p, y_q, z_s)$  مختصات هشت گوشه مکعب  $j\Lambda$ .
- $r_{pqs} = (a_p^2 + b_q^2 + c_s^2)^{1/2}$  فاصله میان یک گوشه مکعب و ایستگاه مشاهده شده است.

را قادر می‌سازد که با استفاده از فرمول لاغرانژ، قیدهای تساوی را با یکتابع وزنی مناسب اعمال کنیم. بخش بعدی اختصاص به جواب فرمول‌بندی لاغرانژ دارد و در پایان اعمال روش وارون فوق روی مدل‌های مصنوعی و همچنین وارون‌سازی داده‌های گرانی برداشت شده از ناحیه گلمندره نشان داده شده است.

## ۲ نظریه روش

مسئله گرانی در این روش با فرض اینکه ناحیه مورد بررسی می‌تواند با تعدادی بلوک قائم نشان داده شود، معرفی شده است (شکل ۱). این پارامترسازی اجازه می‌دهد که جاذبه گرانشی ایجاد شده با هر بلوک جداگانه محاسبه شود. مجموع اثرات ناشی از هریک از بلوک‌های مجزا، میدان گرانی را در نقطه مشاهده تولید می‌کند. جاذبه گرانشی قائم در ایستگاه  $\Lambda$ -به مختصات  $(z, y, x)$ - حاصل از بلوک  $\Lambda$  در مختصات دکارتی را می‌توان به صورت زیر نشان داد



شکل ۱. مدل تشکیل شده از بلوک‌های قائم. گرانی مشاهده شده در هر ایستگاه (+) مجموع اثرات ناشی از هریک از بلوک‌های مجزا در آن ایستگاه است. ایستگاه‌های گرانی  $g(x, y, z)$  در مرکز وجه بالایی مکعب‌ها در لایه بالا واقع شده‌اند. ایستگاه‌ها در یک شبکه افقی در ارتفاع  $Z_0$  قرار دارند. افزایش درجه‌های  $x, y, z$  با  $dx, dy, dz$  نشان داده می‌شود.  $noy$  و  $nox$  به ترتیب تعداد مشاهدات در جهت‌های  $y$  و  $x$  است.  $ncx$  و  $ncz$  تعداد مکعب‌ها در جهت‌های  $x$  و  $z$  است.  $ncy = noy + 2 * pad$  و  $ncx = nox + 2 * pad$  دلالت بر تعداد مکعب‌های اضافه شده در اطراف مدل دارد.

حساسیت بیفتند. آزمایش‌های متعدد روی مدل‌های مصنوعی دلالت بر آن دارد که تابع وزنی با توان  $\beta$ ، مانند  $\frac{1}{(z_j + \varepsilon)^\beta}$  برای بازسازی مدل‌های مصنوعی مناسب است (بولانگر و چوتون، ۲۰۰۱). بهترین مقدار یافته شده  $\beta = 0.9$  است و رنج قابل قبول  $[0.6, 1.2]$  است. لی و اولدنبیرگ (۱۹۹۸) از تابع وزنی به صورت

$$W(z) = \frac{1}{(z + z_0)^2}$$

ایستگاه گرانی است.

#### ۴ ابعاد مکعب‌ها و مدل برای وارونسازی

یکی از مسائل اساسی در وارونسازی تعیین اندازه بهینه مکعب‌ها در مدل است. ابعاد مکعب‌ها باید به اندازه کافی کوچک انتخاب شود تا بتوان طول موج‌های کوتاه در داده‌های مشاهده شده را مدل‌سازی کرد و نیز به اندازه کافی بزرگ باشد تا مسئله نبود پایداری رخ ندهد و تعداد پارامترهای مدل محدود باقی بماند تا محاسبات در زمان منطقی صورت پذیرد. در این مقاله ابعاد مکعب‌ها،  $dx=dy=dz$  در نظر گرفته می‌شود به طوری که هر ایستگاه گرانی در مرکز وجه بالایی مکعب‌ها در لایه بالایی قرار دارد. علاوه بر آن برای اجتناب از انحراف محتمل در بازسازی در طول مرزها، در اطراف این مدل در جهت‌های  $x$  و  $y$  مکعب‌هایی اضافه می‌شود (*pad*) (بولانگر و چوتون، ۲۰۰۱).

#### ۵ فرمول‌بندی (Formulation)

فرمول‌بندی مسئله وارون شامل یافتن مدلی قابل قبول، نزدیک به مدل اولیه است (باکوس و گیلبرت، ۱۹۶۷). وارونسازی با استفاده از معیار حداقل فاصله را گرین (۱۹۷۵) عرضه کرد که برمبنای کمینه کردن فاصله مدل پذیرفتی از یک مدل اولیه است، به طوری که قید تساوی

به آسانی دیده می‌شود که سمت راست معادله (۱) بر یک ثابت  $G_{ij}$  دلالت می‌کند که مقدار  $G_{ij}$  از هندسه بلوک‌ها و رابطه آن با نقطه مشاهده‌ای معین می‌شود. ایستگاه‌های گرانی در مرکز وجه بالایی مکعب‌ها در لایه بالایی واقع شده‌اند. برای بدست آوردن پاسخ مجموع مکعب‌ها در ایستگاه  $(g_i)_{i=1,N}$ ، پاسخ گرانی  $M = ncx * ncy * ncz$  مکعب جمع می‌شود:

$$g_i = \sum_{j=1}^M G_{ij} \rho_j \quad (2)$$

معادله (۲) را می‌توان به شکل ماتریسی به صورت زیر بازنویسی کرد:

$$\vec{g} = \vec{G} \vec{\rho} \quad (3)$$

که  $\vec{g}$  بردار گرانی مشاهده‌ای به طول  $N$ ،  $\vec{G}$  یک ماتریس  $N \times M$  شامل ضرایب گرانشی هندسی وابسته به هر بلوک و نقطه مشاهده‌ای و  $\vec{\rho}$  یک بردار به طول  $M$  از تابیں چگالی‌ها است. تابیں چگالی بر حسب  $m / m^3$  و جاذبه گرانشی بر حسب  $mGal (= 10^{-5} m / s^2)$  است.

#### ۳ وزن‌دهی ماتریس حساسیت (Weighting the sensitivity matrix)

واضح است که حساسیت در سلول‌های نزدیک سطح زمین بیشتر است بنابراین تمام توزیع چگالی تمایل دارد که در نزدیک سطح زمین متتمرکز شود. در این مرحله حساسیت با تابعی وابسته به عمق متوسط سلول  $\rho_j$

$$\frac{1}{(z_j + \varepsilon)} \text{ که } \varepsilon \text{ یک مقدار بسیار کوچک است) وزن}$$

داده می‌شود. این تدبیر را برخی از نویسنده‌گان مانند لی و اولدنبیرگ (۱۹۹۶) و پیلکینگتون (۱۹۹۷) عملی کرده‌اند تا به تمام مکعب‌ها در طول فرایند وارونسازی احتمال یکسانی را داده شود و سلول‌های نزدیک سطح زمین از

در نظر گرفته شده یا نه – ثابت می باشد.

• ماتریس وزنی عمقی است که دارای عضو قطری  $Q_{jj}$

$$Q_{jj} = \frac{1}{(z_j + \varepsilon)^\beta}$$

• قید کمینه کردن حجم است که  $V_{jj} = \frac{1}{\rho_j^2 + \varepsilon}$

این قید را لاست و کوییک (۱۹۸۳) مورد استفاده قرار داده است. اگر  $I = V$  باشد نشان دهنده این است که از این قید استفاده نمی شود.

کمینه کردن تابع هدف  $L(\rho, \theta)$  با توجه به تباین چگالی  $\rho$  و ضرایب لاگرانژ  $\theta$  منجر به دستگاهی مشکل از دو معادله می شود:

$$(AW^{-1})(AW^{-1})^T \theta^k = b^k \quad (5)$$

$$\rho^{k+1} = \rho^k + W^{-1}(AW^{-1})^T \theta^k \quad (6)$$

این دستگاه به طور تکرار حل می شود. در هر تکرار،  $W$  اصلاح می شود و جوابی برای  $\theta^k$  از فرمول ۵ به دست می آید.  $\theta^k$  حاصل در معادله ۶ جایگزین می شود تا  $\rho^{k+1}$  به دست آید، سپس بی هنجاری  $g^{k+1}$  و بردار  $\Delta g^{k+1}$  محاسبه می شود تا مقداری برای  $\chi^2$  به دست

$$\chi^2 = \left\| \frac{g_i^{obs} - g_i}{\sigma_i} \right\|_2^2 \quad \text{آید.}$$

استاندارد است) برنامه هنگامی که به  $\chi^2 \leq N + \sqrt{2N}$  یا بیشینه مقدار تکرارها برسد، متوقف می شود. به منظور افزایش کارایی الگوریتم برای تعداد داده های زیاد، از روش گرادیان مزدوج (Conjugate gradient) برای حل دستگاه معادلات ۵ استفاده شده است (گلوب و ون لون، ۱۹۹۶).

## ۶ وارونسازی داده های مصنوعی

به منظور بررسی صحت الگوریتم برنامه رایانه ای نوشته شده، این برنامه روی مدل های زیر مورد آزمایش قرار گرفته است.

$(g^{obs} - g) = G(\rho - \rho^0)$  با ضرایب لاگرانژ وارد می شود. در این مقاله از تابع لاگرانژ  $L(\rho, \theta)$  که نیم نرم  $\frac{1}{2} \|W(\rho - \rho^0)\|_2^2$  را کمینه می کند به همراه قید تساوی  $A(\rho - \rho^0) = b$  استفاده می شود (بولانگر و چوتو، ۲۰۰۱):

$$L(\rho, \theta) = \frac{1}{2} (\rho - \rho^0)^T W^T W (\rho - \rho^0) + \quad (4)$$

$$(b - A(\rho - \rho^0))^T \theta$$

$A^T = [G^T | H^T]$  که  $A$  یک ماتریس  $(N+M, M)$  شامل ماتریس کرنل  $G_{N \times M}$  و ماتریس  $H_{M \times M}$  است.  $\eta_H \partial^2$  مشتق اول ( $\eta_H \partial$ ) یا مشتق دوم ( $\eta_H \partial^2$ ) است که مشتق اول به قید صاف شدگی و مشتق دوم به قید همواری اشاره دارد.  $\eta_H$  ضریبی است که به ماتریس  $H$ ، وزن بیشتر یا کمتر می دهد. در عمل  $\eta_H$  در حکم نرم ۲ ماتریس  $\|GX\|^2$  با  $\|X\|^2$  انتخاب می شود که در ثابت کوچک  $\mu_H$  ضرب شده است  $(\eta_H = \mu_H \|GX\|^2)$ . در وارونسازی صورت گرفته در این مقاله،  $\mu_H = 10^{-4}$  انتخاب شده است.

$b_{(N+M, 1)}^T = [\Delta g^T | 0^T]$  که  $b^T$  شامل  $\Delta g^T$  (تفاوت میان گرانی مشاهده ای و محاسبه ای) و بردار ۰ است.

$\theta_{(N+M, 1)}^T = [\alpha^T | \zeta^T]$  که  $\theta^T$  ضرایب لاگرانژ است و خود به دو قسم تقسیم شده است ( $\alpha$  برای  $\Delta g$  و  $\zeta$  برای ۰).

$\rho^0$  بردار تباین چگالی اولیه است.  $p$  ماتریس قیود سخت (hard constraint) است به طوری که  $P_{jj}$  در  $\eta = 10^{-2}$  یا ۱ بسته به اینکه مقدار  $j$  امین تباین چگالی اولیه توسط اطلاعات زمین شناسی ثابت

$$\rho_{\min} = 0 \text{ kg/m}^3, \rho_{\max} = +200 \text{ kg/m}^3$$

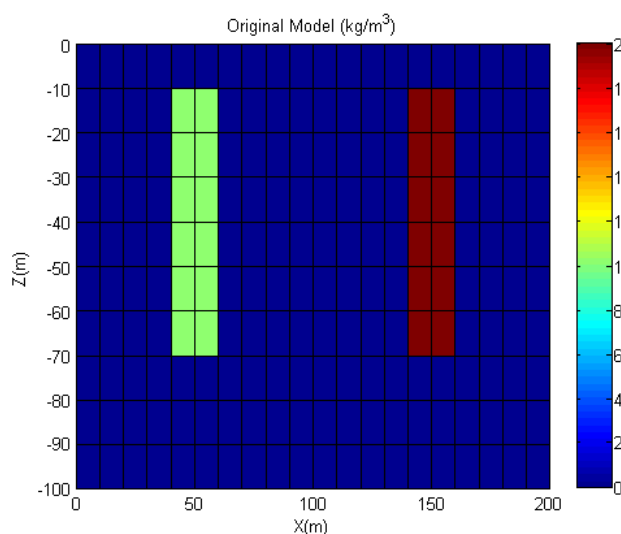
برنامه هنگامی که برای همه ایستگاه‌ها  $\chi^2 \leq 96$  ( $\sigma_i = 0.001 \text{ mGal}$ ) باشد، متوقف می‌شود. شکل ۴ نتیجه وارونسازی را نشان می‌دهد، مدل بعد از ۲ تکرار به همگرایی رسیده است. مرزهای افقی و قائم بی‌هنگاری‌ها (مخصوصاً عمق بالای آنها) به خوبی بازسازی شده است، همچنین تباين چگالی‌های بیشینه به دست آمده برای دو دایک به ترتیب برابر  $110 \text{ kg/m}^3$  و  $190 \text{ kg/m}^3$  است که برای قسمت‌های میانی حاصل شده‌اند و در بقیه قسمت‌ها نیز جواب‌های قابل قبولی را نشان می‌دهد.

#### ۶-۱ دو دایک قائم با چگالی‌های متفاوت

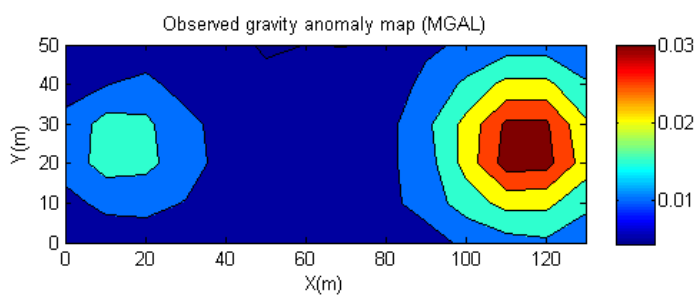
مثل اول به صورت دو دایک قائم با تباين چگالی‌های  $\rho_B = 0 \text{ kg/m}^3$  و  $+200 \text{ kg/m}^3$  که در چگالی زمینه آمیخته شده، نشان می‌دهند. شبکه برداشت شامل  $14 \times 6$  ایستگاه به فاصله ۱۰ متر از هم است و تعداد مکعب‌های اضافه شده در این حالت  $pad=3$  است، بنابراین ناحیه مورد بررسی به  $20 \times 12 \times 10 = 2400$  مکعب به ابعاد ۱۰ متر تقسیم شده است.

مدل آغازی برای وارونسازی زمین همگن با چگالی

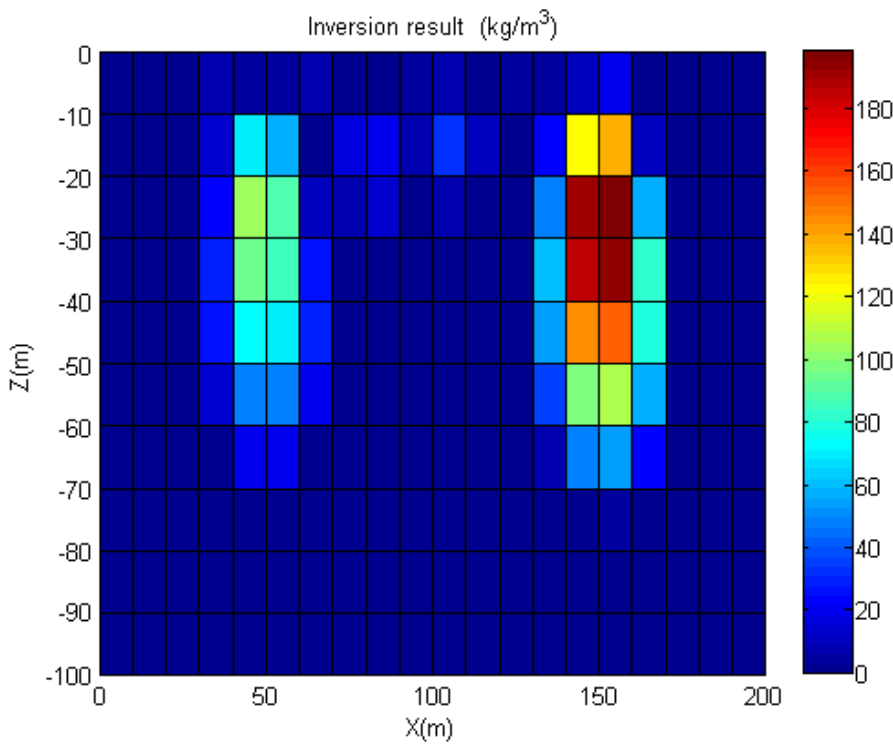
$$\rho_B = 0 \frac{\text{kg}}{\text{m}^3}$$



شکل ۲. دو دایک قائم در شبکه‌ای مرکب از  $20 \times 12 \times 10 = 2400$  مکعب به ابعاد ۱۰ متر، سطح مقطع در راستای محور Z نشان داده شده است. تباين چگالی دایک‌ها  $+200 \text{ kg/m}^3$  و  $-200 \text{ kg/m}^3$  هستند.



شکل ۳. بی‌هنگاری حاصل از مدل مصنوعی شکل ۲ و آمیخته با ۴٪ نویه.



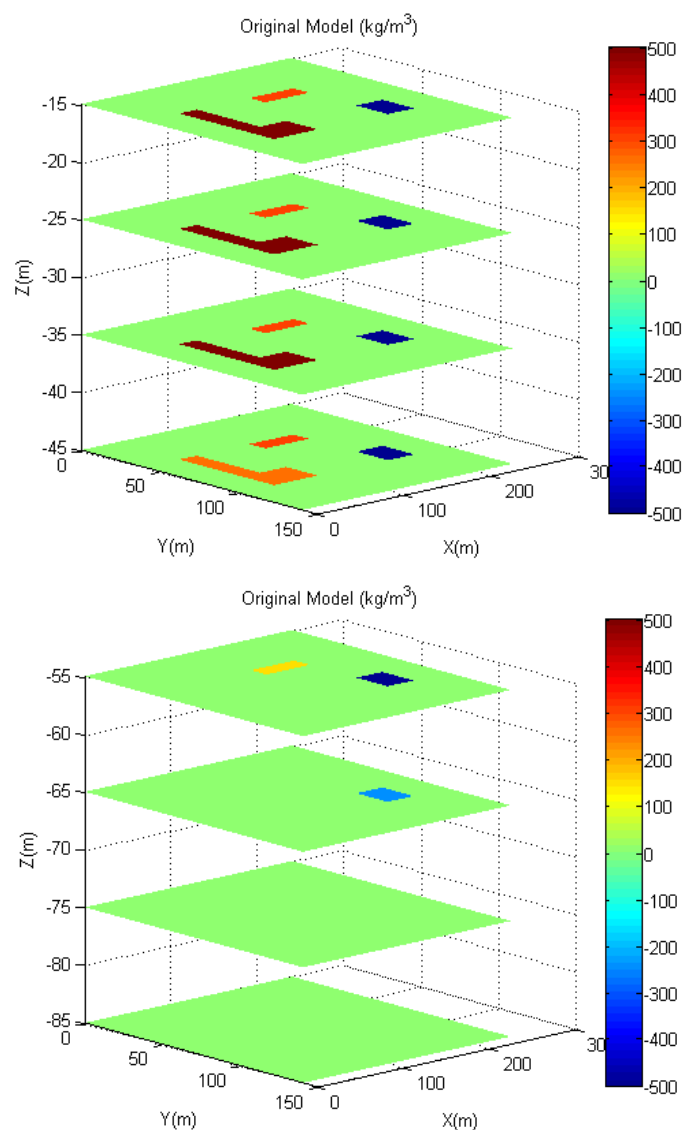
شکل ۴. مدل چگالی به دست آمده از وارون داده های شکل ۳ با استفاده از فرمول بندی کمترین فاصله و همواری و کمترین حجم.

به فاصله ۱۰ متر از هم است. تعداد مکعب های اضافه شده ۳ عدد و تعداد لایه های در نظر گرفته شده ۱۰ لایه است، بنابراین ناحیه مورد بررسی به  $24 \times 14 \times 10 = 3360$  مکعب به ابعاد ۱۰ متر تقسیم شده است. شکل ۶ بی هنجاری محاسبه شده برای این مدل مصنوعی و آمیخته با ۴٪ نویه را نشان می دهد.

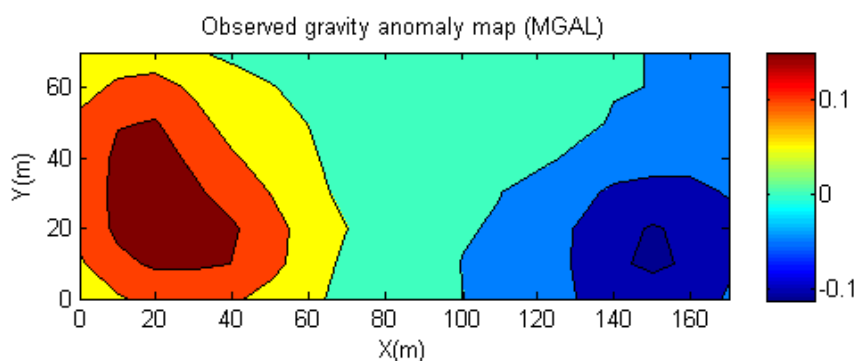
مدل آغازی برای وارونسازی زمین همگن با چگالی  $\rho_B = 0 \text{ kg/m}^3$  و ماتریس اولیه  $P = I$  و  $\rho_{\min} = -500 \text{ kg/m}^3$ ،  $\rho_{\max} = +500 \text{ kg/m}^3$  است. برنامه هنگامی که برای همه ایستگاهها  $\chi^2 \leq 160$  ( $\sigma_i = 0.004 \text{ mGal}$ ) باشد، متوقف می شود. همگرایی بعد از ۴ تکرار حاصل شده است. نتایج نهایی وارونسازی در شکل ۷ نشان داده شده است.

## ۲-۶ اجسام چندگانه (Multiple Bodies)

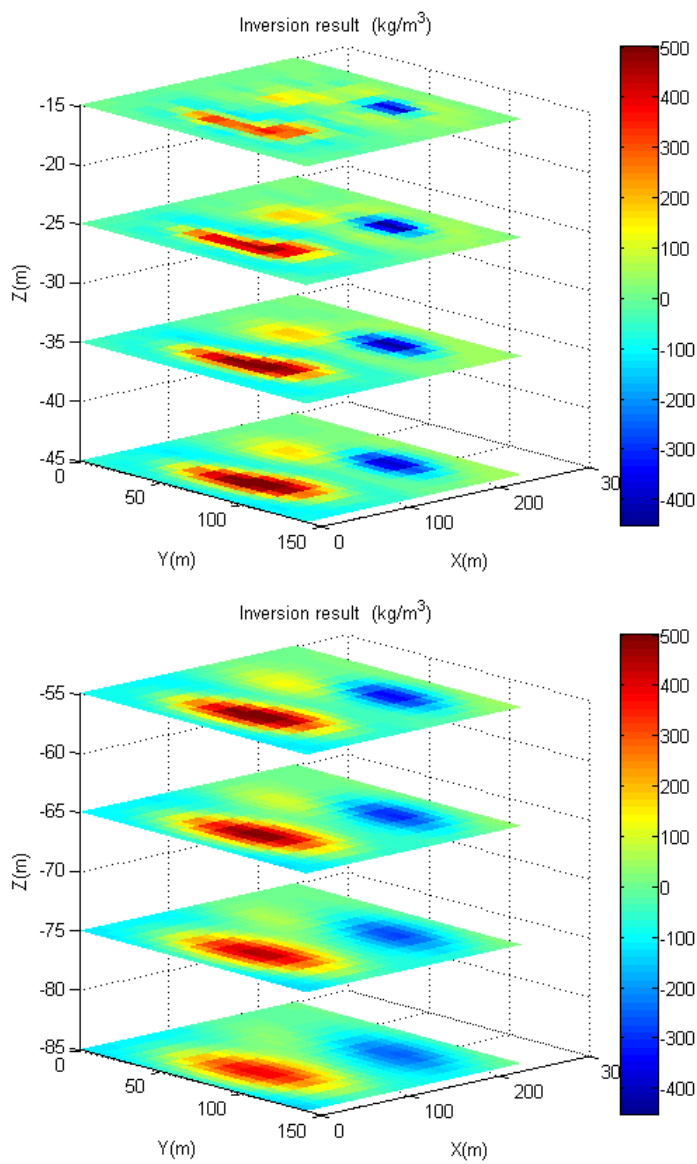
در دومین مثال مدل سازی روی اجسامی با عمق، چگالی و هندسه متفاوت صورت گرفته است. شکل ۵ سطح مقطع هایی در صفحه Y-X از مدلی شامل بلوک های سبک تر ( $-500 \text{ kg/m}^3$ ) و چگال تر ( $+300 \text{ kg/m}^3$  و  $+500 \text{ kg/m}^3$ ) از چگالی زمینه ( $\rho_B = 0 \text{ kg/m}^3$ )، را نشان می دهد. بی هنجاری ها به ترتیب از بی هنجاری چگال تر (L) مانند) تا بی هنجاری های سبک تر، در ۴ و ۵ و ۶ لایه گسترده شده اند. این گونه مدل سازی ها که هم دارای اجسام با اندازه و عمق متفاوت و هم دارای تباين چگالی مثبت و منفی نسبت به چگالی زمینه است، به مأتوانایی بررسی صحت الگوریتم در مورد داده های واقعی را که زمین شناسی آن پیچیده است، می دهد. شبکه برداشت شامل  $18 \times 8$  ایستگاه



شکل ۵. مدل شامل چند نوع جسم متفاوت در شبکه‌ای مرکب از  $3360 \times 14 \times 10 = 466040$  مکعب به ابعاد ۱۰۰ متر. تباين چگالی‌ها ( $-500 \text{ kg} / \text{m}^3$  و  $+500 \text{ kg} / \text{m}^3$ ) است.



شکل ۶. بی‌هنگاری حاصل از مدل مصنوعی شکل ۵ و آمیخته با ۴٪ نویه.



شکل ۷. مدل چگالی به دست آمده از وارون داده های شکل ۶ با استفاده از فرمول بندی کمترین فاصله و همواری و کمترین حجم.

در عمق دارای تفاوت با مدل اصلی است. این به علت فقدان حساسیت پاسخ ها برای بخش عمیق تر مدل و نشان دهنده آن است که برای لایه های پایین نتایج غیرقابل اعتماد هستند.

نتایج به دست آمده برای این دو مدل بینشی کلی و مفید از توانایی ها و محدودیت های الگوریتم در بازسازی ساختارهای متفاوت زمین شناسی می دهد و مشاهده می شود که حتی در حالتی که زمین شناسی منطقه پیچیده و

موفقیت وارونسازی در مقایسه نتایج با مدل مصنوعی مشاهده می شود، موفقیت افقی همه شکل ها به خوبی بازسازی شده است. همچنین عمق بالای اجسام بسیار نزدیک به مدل اصلی است. ۵ لایه اول تشابه نزدیکی با شکل ورودی دارند و تباین چگالی های به دست آمده برابر ( $-450 \text{ kg} / \text{m}^3$ )، ( $+200 \text{ kg} / \text{m}^3$ ) و ( $+500 \text{ kg} / \text{m}^3$ ) هستند. برای لایه های ۶ و ۷ و ۸ مشاهده می شود که توسعه اجسام بزرگ تر (بی هنجاری L شکل)

نظر توپوگرافی، ادامه رشته کوه‌های البرز است که به کوه‌های بیتلود و آلاذغ می‌رسد. توپوگرافی حوضه آبریز شامل دوبخش کوهستانی و دشت است که در بخش کوهستان ارتفاعات بین ۱۱۰۰ تا ۱۸۰۰ متر از سطح دریا ارتفاع داشته و شبی دامنه‌ها بین ۳۰ تا ۷۰ درجه متغیر است. قسمت دشت حوضه آبریز دارای شبی ۵ تا ۲۰ درجه و ارتفاع بین ۹۰۰ تا ۱۲۰۰ متر متغیر است. پوشش سنگ‌شناختی ارتفاعات، سنگی است و بیشتر از سنگ‌های آهکی تشکیل شده است در حالی که قسمت‌های پست و کم ارتفاع، دارای پوشش رسوبات نژوژن و آبرفت‌های کواترنر است.

### ۳-۷ عملیات میدانی

برداشت‌های میکروگرانی‌سنگی در شبکه‌ای شامل  $1500 \times 30 = 50 \times 30$  میتر ایستگاه برداشت به فاصله ۱۰ متر است. چگالی متوسط موردنیاز برای تصحیح بوگه با توجه به اطلاعات قبلی  $kg / m^3$  ۲۶۵۰ ۱۲۶۰ انتخاب شده است (اردستانی، ۲۰۰۸). شکل ۹ بی‌هنگاری باقی‌مانده را برای این ناحیه نشان می‌دهد.

بیشینه اختلاف بی‌هنگاری باقی‌مانده به حدود  $0.5 \times 5$  میلی‌گال می‌رسد. همان‌طور که در شکل ۹ مشاهده می‌شود ناحیه‌ای که با مستطیل مشکی مشخص شده است شامل بی‌هنگاری‌های عمدۀ منفی ۳ و ۴ است. بنابراین مناسب به نظر می‌رسد به منظور مدل‌سازی سه‌بعدی از این ناحیه استفاده شود (مستطیل سرخ‌رنگ ناحیه‌ای را نشان می‌دهد که در وارون‌سازی به روش growing bodies مورد استفاده قرار گرفته است (اردستانی، ۲۰۰۸)). این کار دارای چندین مزیت است اول آنکه با محدود کردن ناحیه مدل‌سازی روی سطح زمین، تعداد پارامترهای مدل کاهش می‌یابد و دقت مدل‌سازی تا حد زیادی افزایش پیدا می‌کند. همچنین این امر زمان لازم برای اجرای برنامه را به میزان قابل ملاحظه‌ای کاهش می‌دهد.

شامل چندین بی‌هنگاری گوناگون باشد نیز جواب‌های قابل قبولی حاصل می‌شود.

### ۷ مدل سازی داده‌های واقعی گرانی

در این بخش به مدل‌سازی داده‌های واقعی می‌پردازیم. محل موردنظر برای تحقیقات میکروگرانی‌سنگی، ساخت‌گاه سد گلمندره در استان خراسان شمالی است که عملیات داده‌برداری آن را بخش گرانی‌سنگی موسسه ژئوفیزیک به انجام رسانده است. هدف از این تحقیق، بررسی خصوصیات ژئوفیزیکی ساختگاه سد گلمندره بهویژه شناسایی کارست‌های ساختگاه است.

### ۱-۷ موقعیت جغرافیایی منطقه

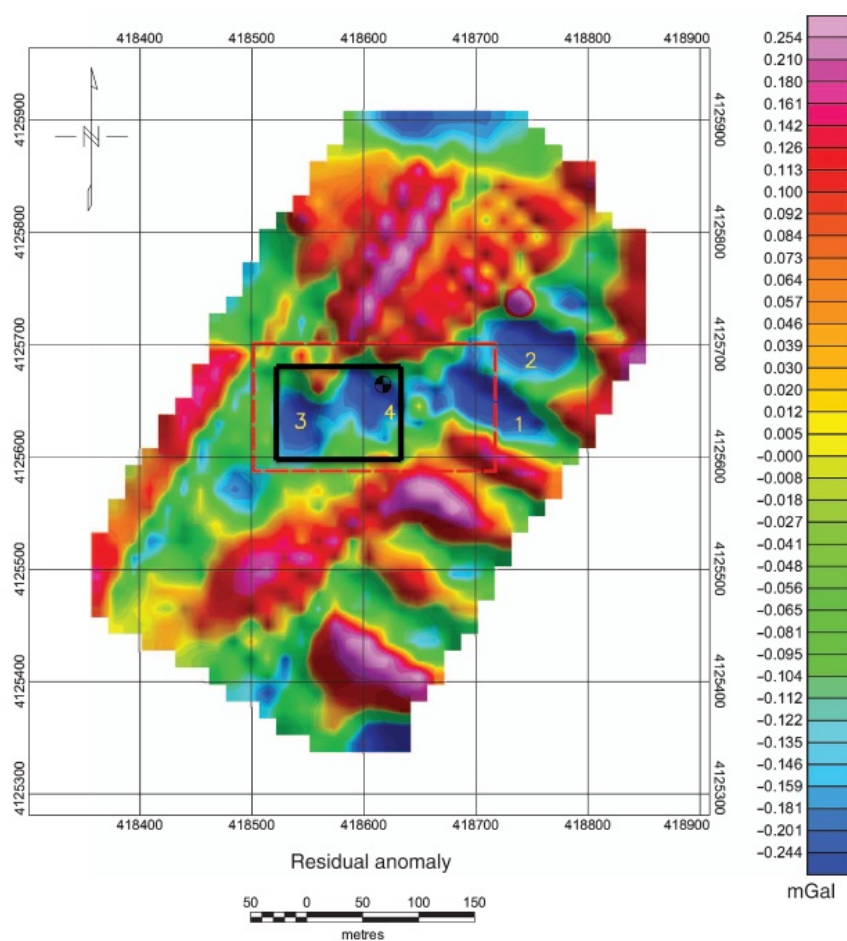
منطقه مورد بررسی در شمال شرقی ایران و در مجاورت مرز استان‌های خراسان شمالی و گلستان واقع شده است (شکل ۸). موقعیت جغرافیایی محل پروره در عرض جغرافیایی "۳۰°۶' ۳۷° ۱۶' شمالي و طول جغرافیایي"  $56^{\circ} ۵^{\prime}$  ۳۲/ روستای چشم‌خان واقع است.



شکل ۸. موقعیت جغرافیایی منطقه مورد بررسی.

### ۲-۷ زمین‌شناسی عمومی منطقه

گستره مورد بررسی در منتهایه زون ساختاری رسوی ایران مرکزی و در زون البرز واقع شده است. این منطقه از



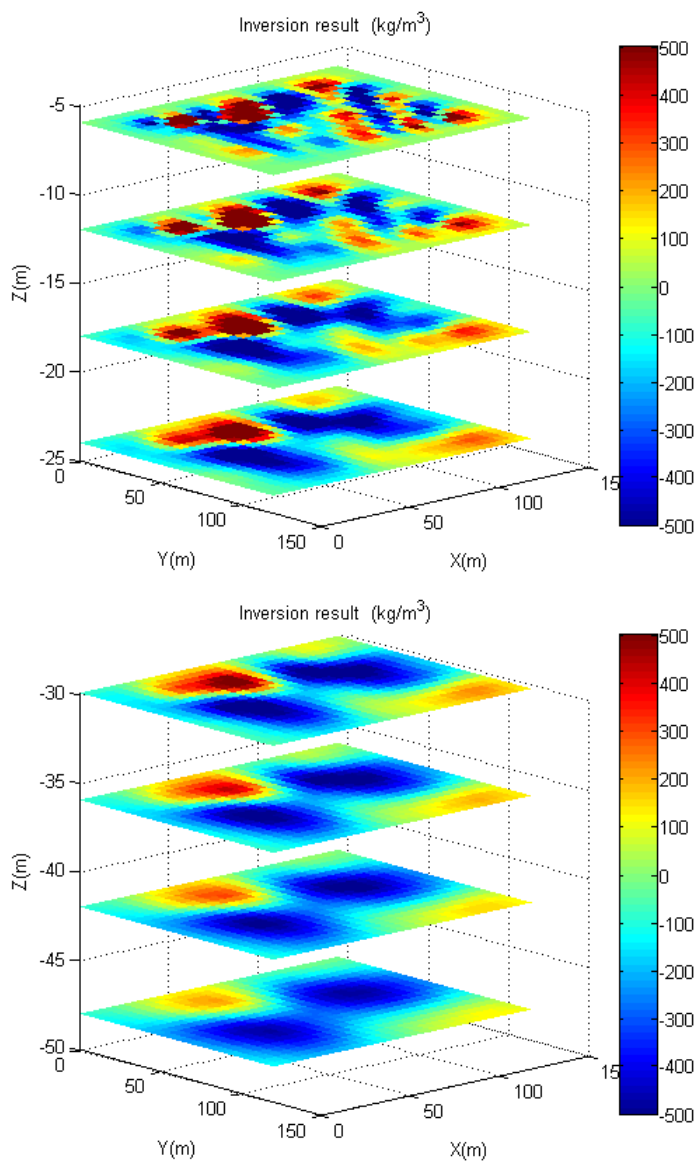
شکل ۹. بیهنجاری باقیمانده، مستطیل مشگی ناحیه منتخب برای وارونسازی. مستطیل سرخ زنگ ناحیه منتخب در وارونسازی به روش growing bodies (اردستانی، ۲۰۰۸).

شکل ۱۰ برای مقاطع عمقی متفاوت با فواصل ۶ متر نشان داده شده است. مدل بعد از ۵ تکرار به همگرای رسیده است ( $\chi^2 \leq 274$ ).

همان‌طور که در شکل‌های دیده می‌شود، هندسه بیهنجاری‌های مثبت و منفی مخصوصاً در مرزهای افقی به‌وضوح معین شده است. نتایج حاکی از یک کارست‌شدگی شدید در این منطقه و بیانگر بحرانی بودن این نواحی برای ساختن سد است. مقایسه این نتایج با نتایج حاصل از وارونسازی به روش growing bodies (اردستانی، ۲۰۰۸) صحت نتایج وارونسازی را مورد تایید قرار داده است.

#### ۴-۷ نتایج وارونسازی

برای مدل‌سازی سهبعدی در این ناحیه از شبکه‌ای شامل  $252 \times 14 \times 18$  نقطه برداشت (مستطیل مشگی در شکل ۹) استفاده شده است. مدل به صورت یک مدل ۳D با ضخامت ۶ متر در هر لایه در نظر گرفته شده است. تعداد مکعب‌های اضافه شده به مدل،  $pad=3$ ، است، بنابراین تعداد پارامترهای مدل  $4320 \times 20 \times 9 = 24 \times 20 \times 9 = 4320$  است. طبق اطلاعات قبلی محدوده چگالی برای این مدل بین  $kg/m^3$  و  $500 kg/m^3$  انتخاب شده است (اردستانی، ۲۰۰۸). نتایج وارونسازی در



شکل ۱۰. نتایج وارونسازی سه بعدی داده‌های منطقه گلمندره.

برنامه فقط شامل مقادیر عددی تباین چگالی و داده‌های اندازه‌گیری شده است. استفاده از برنامه نوشته شده، برای وارونسازی داده‌های مصنوعی و داده‌های واقعی به مجموعه‌ای از نتایج قابل قبول و همگرایی خوب منجر شده است. برنامه به ما این توانایی را می‌دهد تا شیوه‌های متفاوت برای یافتن جواب قابل قبول را ارزیابی و مقایسه کنیم. از جمله مزایای این الگوریتم آن است که در آن نیازی به جدا کردن بی هنجاری‌های مثبت و منفی نیست و

## ۸ نتیجه‌گیری و پیشنهادات

در این تحقیق وارونسازی سه بعدی داده‌های گرانی که با استفاده از معیار کمینه فاصله که گرین (۱۹۷۵) پیشنهاد کرده صورت گرفته و همچنین با تابع لاگرانژ فرمولبندی شده است، الگوریتمی قابل انعطاف به دست می‌دهد که در صورت نیاز می‌توان قیود همواری و فشردگی را نیز ترکیب کرد. به منظور وارونسازی سه بعدی گرانی برنامه‌نویسی در زبان مطلب (MATLAB) صورت گرفته است. ورودی

- specific functional, *Geophysics*, **49**, 1354-1360.
- Last, B. J. and Kubik, K., 1983, Compact gravity inversion, *Geophysics*, **48**, 713-721.
- Li, Y. and Oldenburg, D. W., 1996, 3-D inversion of magnetic data, *Geophysics*, **61**, 394-408.
- Li, Y. and Oldenburg, D. W., 1998, 3-D inversion of gravity data, *Geophysics*, **63**, 109-119.
- Pilkington, M., 1997, 3-D magnetic imaging using conjugate gradients, *Geophysics*, **62**, 1132-1142.

برای ترکیبی از تباین چگالی‌های مثبت و منفی قابل استفاده است. همچنین مقدار اطلاعات ورودی موردنیاز اندک است و الحق اطلاعات زمین‌شناسی و ژئوفیزیکی موجود برای محدود کردن و بهبود کیفیت جواب بسیار راحت است. با استفاده از این الگوریتم، تباین چگالی‌های خوبی به دست می‌آید و مرزهای افقی با دقت زیادی تعیین می‌شود. همچنین در صورتی که تباین چگالی‌ها هم علامت با چگالی زمینه باشند، بازسازی خوبی در عمق صورت می‌پذیرد اما برای ترکیبی از تباین چگالی‌های مثبت و منفی هندسه‌بی‌亨جارتی‌ها در عمق دقیقاً بازسازی نمی‌شود. به‌منظور بهبود کارایی روش، می‌توان از روش‌های تعیین عمق بیشینه بی‌هنجارتی به‌منظور مقید کردن مسئله در عمق، که منجر به جواب‌های واقعی‌تری در عمق می‌شود، استفاده کرد. همچنین کاربرد قیود متفاوت روی ساختارهای متنوع می‌تواند تا حد زیادی در بهبود جواب‌ها موثر واقع شود به‌طوری که برای نواحی دارای تباین چگالی زیاد، استفاده از قید فشردگی مناسب است و برای اکتشافاتی که به دنبال آشکارسازی ترکیبی از تباین چگالی‌های مثبت و منفی هستند، بهترین ترکیب، وارد کردن قیود همواری و فشردگی است.

## منابع

- Ardestani, E. A., 2008, Modelling the karst zones in a dam site through micro-gravity data, *Exploration Geophysics*, **39**, 204-209.
- Backus G. and Gilbert J. F., 1967, Numerical applications of a formalism for geophysical inverse problems, *Geophysical Journal of the Royal Astronomical Society*, **13**, 247-276.
- Boulanger, O. and Chouteau, M., 2001, Constraints in 3D gravity inversion, *Geophysical Prospecting*, **49**, 265-280.
- Golub, G. H. and Van Loan, C. F., 1996, *Matrix Computations*, 3rd edn. Johns Hopkins University Press.
- Green, W. R., 1975, Inversion of gravity profiles by use of a Backus-Gilbert approach, *Geophysics*, **40**, 763-772.
- Guillen, A. and Menichetti, V., 1984, Gravity and magnetic inversion with minimization of